

北海道大学工学部 正員 佐伯 昇

〃 学生員 林 浩二

〃 正員 藤田 嘉夫

1. まえがき

コンクリートに圧縮荷重が載荷されると、コンクリート中の一番の弱点となっている骨材とマトリックスの界面にひびわれが発生する。この骨材とマトリックスの接触面は、ブリージングの影響、骨材表面の機械的作用、化学的作用、空隙および水酸化カルシウム層等の影響を受けて複雑な力学的性状を示す。本研究では、この界面ひびわれ発生性状を調べるために、次のような過程で解析を行なった。第1に、この複雑なマトリックスと骨材の付着強度性状の力学的挙動を内外の実験結果から Mohr-Coulomb の破壊包絡線で表現できることを仮定した。第2に、コンクリートの構造モデルとしてマトリックス中に一箇の球形骨材を含む3次元体モデルを想定した。第3に、この3次元体モデルの骨材界面の応力場に、第1の Mohr-Coulomb の破壊包絡線を適用して界面ひびわれ発生の傾斜角および発生荷重について算定式を求めた。また、先に求めたコンクリート2次元体モデルによる界面ひびわれ発生の傾斜角および荷重との比較を行なった。さらに、Mohr-Coulombの破壊包絡線、骨材とマトリックスのヤング率およびポアソン比による界面ひびわれ荷重の変化性状について検討した。

2. 解析方法および結果

写真1は引張試験の供試体破断面の骨材表面の走査顕微鏡の2次電子線像で水酸化カルシウムの結晶が見られる。このように、骨材界面近傍は、弱点が形成される可能性が高く、このため比較的小さな荷重でも微視的に界面ひびわれが発生する。この界面の付着強度性状を Mohr-Coulomb^{1), 2)}の破壊包絡線で表示する。

$$\tau = C + \sigma \tan \phi \quad (1)$$

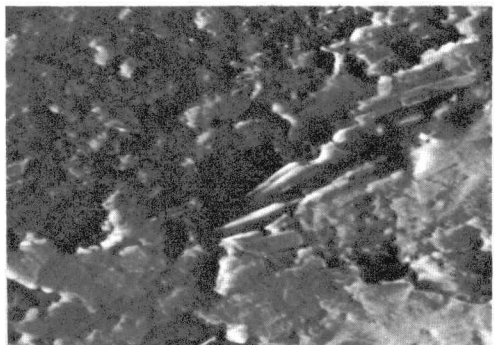


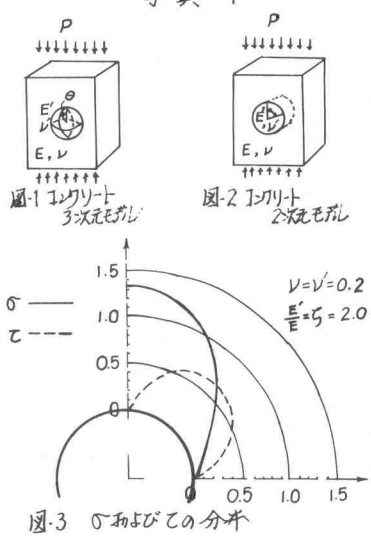
写真 1

ここで、 C ：付着力、 ϕ ：内部摩擦角である。 C 、 ϕ は、ブリージングの影響を受けた界面ではかなり小さく、 $C/P_B = 0.02 \sim 0.05$ 、 $\phi = 30^\circ \sim 40^\circ$ である。普通の界面状態では、 $C/P_B = 0.05 \sim 0.2$ 、 $\phi = 40^\circ \sim 60^\circ$ である。 P_B はマトリックスの圧縮強度を示す。コンクリートのモデル構造として、図-1に示すような黒限体中に球が一箇存在する3次元体を考える。この3次元体の応力は、J, N, Goodier³⁾によって解析されている。界面での半径方向応力 σ_r と剪断応力 τ では、次式のようになる。

$$\begin{aligned} \sigma &= P(A + B \cos 2\theta) \\ \tau &= PD \sin 2\theta \end{aligned} \quad (2)$$

(2)式を(1)式に代入して、 $\frac{dP}{d\theta} = 0$ によって最小値を求めるとき界面ひびわれ発生の傾斜角 θ_{cr} および発生荷重 P_{cr} は、次式となる。

$$\theta_{cr} = \frac{\pi}{4} + \frac{\phi}{2} \quad (3)$$



$$P_{cr} = \frac{2C}{\bar{\alpha}_2} \cdot \frac{\cos \phi}{1 - \bar{\alpha}_1 \sin \phi} \quad (4)$$

ここで、

$$\bar{\alpha}_1 = \frac{1}{5} \cdot \frac{2(4-\nu'-5\nu\nu')+(7-5\nu)(1+\nu)\zeta}{(1+\nu)\{2(1-2\nu')+(1+\nu)\zeta\}} \quad (5)$$

$$\bar{\alpha}_2 = \frac{15(1-\nu)(1+\nu)\zeta}{(7-5\nu)(1+\nu')+(8-10\nu)(1+\nu)\zeta} \quad (6)$$

図-2のようば2次元モデルについて、先に発表したがこれと3次元モデルと比較すると、 α_{cr} は、(3)式と一致し P_{cr} は、(4)式において $\bar{\alpha}_1 \rightarrow \alpha_1$, $\bar{\alpha}_2 \rightarrow \alpha_2$ を代入した式となる。係数 α_1 , $\bar{\alpha}_1$ および α_2 , $\bar{\alpha}_2$ を比較すると図-4のようになる。

$\nu=\nu'=0.2$ の場合は、簡単になり

$$P_{cr} = \frac{C(1+\zeta)}{\zeta} \cdot \frac{\cos \phi}{1 - \sin \phi} \quad (6)$$

図-3は、(2)式による界面工の応力分布を計算したもので(1)は、 $\theta=0^\circ$ で最大値をとり、(2)は、 $\theta=45^\circ$ で最大値となる応力分布特性を示す。図-5, 6および7は、それぞれ内部摩擦角が 20° , 40° , 60° の場合のマトリックスの破壊強度に対する界面ひびわれ発生荷重の比を(4)式から求めたもので、パラメーターとして C/P_B = 0.02, 0.1, 0.2, ポアソン比は、 $\nu=0.2$ $\nu'=0.2$ と $\nu=0.2$, $\nu=0.3$ の場合について計算したものである。中が小さいほど P_{cr} は小さく、また、 C/P_B が小さいほど P_{cr} は小さくなる。

3 結論

1) 骨材とマトリックスの付着強度性状を Mohr-Coulomb の破壊包絡線 ($\tau = C + \sigma \tan \phi$) で表わすことができるとすると、界面ひびわれ発生傾斜角は荷重方向に対して $45^\circ - \frac{\phi}{2}$ の界面から生じ 発生荷重は C 中、骨材とマトリックスの接着率比およびポアソン比によって算定できる。

2) $\phi = 20^\circ \sim 60^\circ$, $C/P_B = 0.02 \sim 0.2$ まで変化させた場合の界面ひびわれ発生荷重性状について、数値計算によって明らかにした。

4 参考文献

1) Michael. A. Tayler: Shear bond strength; ACI Aug. 1964

2) 奈良, 佐伯, 高田: 骨材ヒマトリックスとの付着強度について
土木学会年次講演会 S51

3) J. N. Goodier: Concentration of stress Around Spherical and
Cylindrical Inclusions and Flaws. APM 1955, 7

4) 藤田佐伯, 横福: コンクリートの骨材界面ひびわれについての考察
土木学会年次講演会 S51

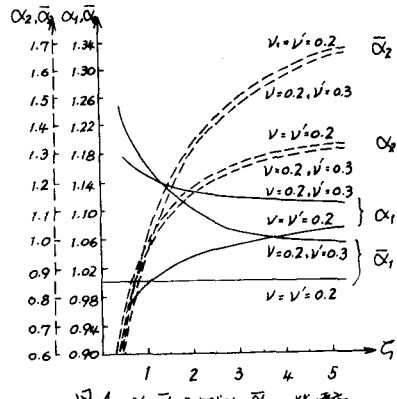


図-4 α_1, α_2 および $\bar{\alpha}_1, \bar{\alpha}_2$ の比較

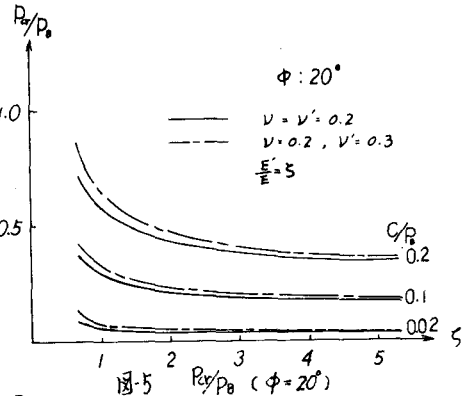


図-5 P_{cr}/P_B ($\phi = 20^\circ$)

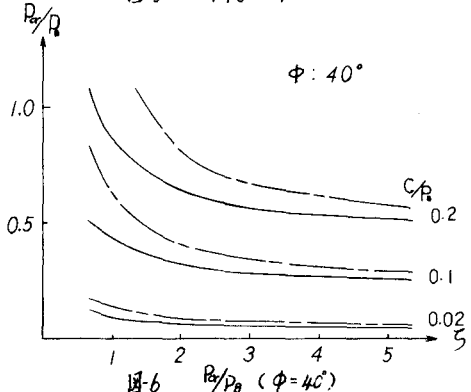


図-6 P_{cr}/P_B ($\phi = 40^\circ$)

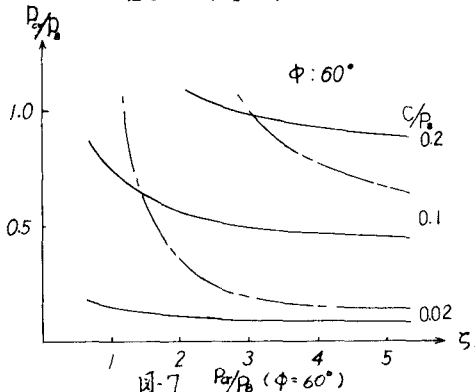


図-7 P_{cr}/P_B ($\phi = 60^\circ$)